

有色金属及合金板帶材  
的生產

上冊

本书是根据高等工业院校有色金属及合金压力加工专业的教育计划和教学大纲编写的，内容计于120个学时。

全书分上下两册出版，上册为第一篇轧制原理和第二篇轧制车间设备；下册为第三篇生产工艺。在理论与实践相结合的原则指导下，书中分析并讨论了平辊轧制时的规律，讲述了所用生产设备的用途、构造及操作方法，以及各种合金板带材的生产工艺和新技术。

本书为高等工业学校有色金属及合金专业的试用教材，也可供生产企业和设计研究机构的工作人员参考。

## 有色金属及合金板带材生产

### 上 册

东北工学院有色金属及合金压力加工教研

\*

冶金工业部图书编辑室编辑（北京猪市大街

中国工业出版社出版（北京佟麟阁路丙10号）

（北京市书刊出版事业许可证出字第110号）

中国工业出版社第三印刷厂印刷

新华书店北京发行所发行·各地新华书店

\*

开本787×1092<sup>1</sup>/16·印张26·插页2·字数483,000

1962年1月北京第一版·1962年1月北京第一次印刷

印数001—660·定价（10—6）3.0元

\*

统一书号：K15165·1315（冶金--229）

# 目 录

論	.....	5	沿咬入弧上摩擦力不变之情形下 单位压力之分布 (謝別爾理論) .....	83
<b>第一篇 軋制原理</b>				
引言	.....	5	§ 6 沿咬入弧上有液体摩擦滑动时, 单位压力之分布(納代理論).....	85
§ 1 研究軋制原理之意义及其基本內容	5	§ 7 单位压力分布之實驗研究.....	87	
§ 2 简单軋制过程及非简单軋制过程	7	§ 8 有貼合区存在的情形下沿咬入弧 上单位压力之分布.....	92	
§ 3 軋制变形指数.....	8	§ 9 各种单位压力理論計算結果之比 較.....	101	
<b>第一章 軋制过程之建立——咬着</b>	12	<b>第六章 平均单位压力与軋制力</b> ..... 103		
§ 1 咬着时之作用力及其必要条件	12	§ 1 平均单位压力与軋制力之概念.....	103	
§ 2 金属被咬着并被填充于輥間之过程	15	§ 2 用采利柯夫理論公式求平均单位 压力.....	103	
§ 3 軋制时影响軋件被咬着之因素	17	§ 3 求平均单位压力之其他公式.....	110	
§ 4 最大咬入角之决定及其数值	21	§ 4 各种平均单位压力公式之評論、 比較及計算.....	113	
<b>第二章 高向变形——金屬之流动</b>	22	§ 5 軋件与軋輥間接触面积之确定.....	122	
§ 1 金属在軋制时, 变形区之初步 概念——前滑区及后滑区	22	§ 6 軋制力之实际測定.....	131	
§ 2 軋制时金属在变形区内均匀流动 的理論——巴甫洛夫 [刚端] 理論	23	§ 7 采利柯夫公式与實驗曲線之比較	137	
§ 3 軋制时金属在变形区内不均匀流 动的理論——采利柯夫的理論	24	<b>第七章 軋制时之作用力及力矩</b> ..... 141		
§ 4 关于軋制时金属流动不均匀分布 之實驗	27	§ 1 軋制时作用力及其力矩.....	141	
§ 5 軋制时变形区应力状态之分析	32	§ 2 简单軋制过程之作用力及力矩	141	
<b>第三章 橫向变形——宽展</b>	34	§ 3 单輶传动軋制过程之作用力及其 力矩.....	143	
§ 1 宽展之分布.....	34	§ 4 軋制时軋件运动不均匀情形下之 作用力及力矩.....	144	
§ 2 宽展之組成.....	38	§ 5 軋制时軋輥圓周速度不同时之作 用力及力矩.....	146	
§ 3 各种軋制因素对宽展之影响	41	§ 6 軋輥直径不同时之作用力及力矩	148	
§ 4 宽展之公式.....	46	§ 7 軋件加热不均时之作用力及力矩	149	
<b>第四章 縱向变形——前滑</b>	50	§ 8 有拉力軋制之作用力.....	150	
§ 1 中和点及临界角.....	50	§ 9 在多輶式軋机上力的分布情形	151	
§ 2 前滑与前滑之发生.....	53	§ 10 軋机軋輶轉動时所需电机輸出之 力矩計算.....	152	
§ 3 前滑数值之决定.....	54	§ 11 靜負荷图.....	157	
§ 4 各种軋制因素对前滑之影响	56	§ 12 带有飞輪之軋机電機力矩計算	158	
§ 5 縱向变形与横向变形間之关系	63	§ 13 可逆式作业方式中之传动負荷	161	
§ 6 前滑在实际生产中之意义	66	§ 14 电动机之最大力矩的决定	163	
<b>第五章 咬入弧上单位压力之分布</b>	68	<b>第八章 軋制功率之決定</b> ..... 164		
§ 1 研究单位压力分布之意义	68			
§ 2 咬入弧上单位压力分布的旧理論	68			
§ 3 关于单位压力的微分方程式—— 卡尔曼方程式.....	70			
干燥摩擦滑动时咬入弧上单				

§ 2	軋机各部分摩擦力功率消耗	170	§ 3	連接軸及軸套之平衡裝置(托
§ 3	由實驗曲線來決定軋制能力及轉 矩	172	§ 4	主連接器
<b>第一篇</b>	<b>參考文獻</b>	179	§ 5	連接裝置之計算舉例
<b>第二篇 軋制車間設備</b>				
<b>引言</b>		183	<b>第七章</b>	<b>軋机機列之齒輪機及減速機</b>
§ 1	軋制車間設備之任務及其組成	183	§ 1	齒輪機及減速機之作用及其配置 形式
§ 2	軋机的发展	185	§ 2	齒輪機之構造—齒輪機架
§ 3	學習軋制車間設備這門課程之目 的	187	§ 3	齒輪機的齒輪及其軸承
<b>第一章</b>	<b>板帶材軋机之分类及其选择</b>	188	§ 4	齒輪機傾復力矩之計算
§ 1	按用途分类	188	§ 5	齒輪減速器
§ 2	按軋机結構分类	188	<b>第八章</b>	<b>軋制車間之輸送設備</b>
§ 3	按軋机的布置分类	193	§ 1	輥道
§ 4	按軋机之作业方式分类	201	§ 2	升降台
<b>第二章</b>	<b>軋机軋輶</b>	203	§ 3	其他運輸設備
§ 1	軋輶之結構	203	<b>第九章</b>	<b>帶材之卷取設備</b>
§ 2	軋輶尺寸	204	§ 1	卷取設備之用途及其分类
§ 3	軋輶強度驗算	207	§ 2	普通卷取机
§ 4	軋輶撓度計算	210	§ 3	拉力卷取机
§ 5	軋輶材料	213	§ 4	輥式卷取机
§ 6	軋机軋輶選擇及驗算之实例	218	§ 5	解卷机
§ 7	換輶裝置	221	§ 6	卷取机之計算
<b>第三章</b>	<b>軋机軋輶之軸承</b>	227	§ 7	卷取設備計算之舉例
§ 1	軋輶軸承之作用、要求及式样	227	<b>第十章</b>	<b>矯正机</b>
§ 2	滑動式軋輶軸承	227	§ 1	輥式矯正机
§ 3	滾動式軋輶軸承	237	§ 2	輥式矯正机之計算
§ 4	液膜式軋輶軸承	240	§ 3	拉力矯正机
§ 5	開式軸承中軸承座的構造及計算	240	§ 4	拉力矯正机之計算
<b>第四章</b>	<b>軋机之压下及調整裝置</b>	246	§ 5	矯直机計算之舉例
§ 1	压下及調整裝置之作用	246	<b>第十一章</b>	<b>剪切及鋸斷設備</b>
§ 2	軋輶之压下裝置	247	§ 1	剪切設備之分类
§ 3	軋輶之平衡裝置	250	§ 2	平刃剪切机
§ 4	軋輶上之安全裝置	254	§ 3	斜刃剪切机
§ 5	压下—調整裝置之轉動系統	257	§ 4	圓盤剪切机
§ 6	軋輶之压下—平衡裝置之計算舉例	263	§ 5	圓盤鋸
<b>第五章</b>	<b>軋机機架牌坊及地基</b>	267	§ 6	表面加工設備
§ 1	軋机牌坊之分类	267	§ 7	計算舉例
§ 2	軋机牌坊之材料及許可应力	268	<b>第十二章</b>	<b>热處理及酸洗設備</b>
§ 3	軋机牌坊的構造及基本尺寸	269	§ 1	热處理設備之应用及要求
§ 4	軋机牌坊的固着零件及基础	273	§ 2	加热炉之分类
§ 5	軋机機架牌坊之傾復力矩	276	§ 3	錠料之加热炉
§ 6	牌坊强度之驗算	280	§ 4	退火炉
§ 7	牌坊在彈性變形時之撓度驗算	286	§ 5	淬火炉
§ 8	簡易軋机之牌坊	287	§ 6	各種加热炉所用燃料之選擇
§ 9	軋机牌坊之預選及驗算舉例	290	§ 7	加热炉之搬运設備
<b>第六章</b>	<b>連接軸及連接器</b>	294	§ 8	酸洗設備
§ 1	梅花形連接裝置		§ 9	廢屑之收集及打包設備

## 緒論

[有色金屬及合金板帶材生產]是專門研究一切以有色金屬及合金為原料，通過以平輶軋制法為主的壓力加工方法，制成板材、帶材、條材、及箔材等成品之生產技術的理論及實踐之科學。它是有色金屬及合金壓力加工專業課程內容之一。

### 有色金屬及合金板帶材在國民經濟中之作用

有色金屬及合金板帶材的生產與社會主義建設中的各個工業部門都有密切的關係。由於有色金屬具有各種各樣的特殊性能——譬如：導電性、導熱性、抗腐蝕性、以及色澤美觀等等，都是許多工業品所要求的性能，再加上板、帶材的生產又是壓力加工方法中比較最廣泛採用的生產方式，所以許多工業制品愈來愈多地使用板、帶材來加工製造。特別是近年來隨著國民經濟的發展，有色金屬及合金的品種日益增多，加工技術也日益進步，金屬及合金產品之機械性能及物理性能也日漸提高，這就使有色金屬及合金的板帶材生產，在國民經濟的各個部門和國防工業中，以及在最新技術的發展中，所起的作用都在日益增大。

有色金屬及合金的板帶材制品，與電器工業、機器工業、交通運輸工業、化學工業、輕工業、食品工業、以至國防工業及各種新技術都有密切的關係，是整個國民經濟發展中不可缺少的材料。隨著我國各工業部門的飛躍發展，有色金屬及合金的板帶材之消費量日益增長，品種要求也日漸增加。根據粗略統計，製造一萬瓩的發電設備，如果包括一切變電及輸電設備器材在內，共約需800噸的銅及鋁。製造一部拖拉機需要31公斤銅，一輛解放牌汽車也需21公斤銅●，一架飛機上三分之一以上的材料是鋁。另外，一般精密的或有特殊要求的器具或機械零件之製造，更离不开有色金屬及合金材料。因此有色金屬及合金消費量及制品品種的多寡，常可衡量一個國家的技術水平及工業生產水平。就過去一般工業發達的一些國家的統計，有色金屬的生產消費與鋼鐵的生產消費常保持一定的比例，通常每消費100萬噸鋼，就必須消費1.3萬噸的銅，1.2萬噸的鋁，0.9萬噸的鋅，及0.6萬噸的鉛。這些有色金屬及合金的材料中，有一大部分是以板、帶形狀的材料來供應的。

### 我國有色金屬板帶材生產工業之發展

我國使用有色金屬的歷史是很悠久的，例如大約在商朝時代，是用銅的鼎盛時期，被稱為銅器時代，迄今已有數千年。但是古代的銅器大都是用鑄造法或錘鍛法制出的，用近代軋制法來製造有色金屬器具材料，不過只有幾十年的歷史。

● 1958年9月25日人民日報社論：全民煉銅。

在过去長时期的封建及官僚資产阶级統治时期，有色金属的加工工业是不可能得到发展的。和鋼鐵工业一样，帝国主义者除了掠夺有色金属資源外，对于半殖民地的金属加工工业是不允许有所发展的。

解放以后，在党和政的正确領導下，在很短的时期内，不但完全恢复了过去所仅有的一些有色金属矿山及冶炼厂，并且开始建立了有色金属加工厂。在第一个五年計劃中，在有色金属加工工业方面，新建了大规模的鋁及鋁合金加工厂，开始筹建新式的銅及銅合金加工厂，并且逐步扩建了原有的有色金属加工厂。与此同时，更改造了那些分散在各大城市中的小型加工厂，使之为社会主义建設事业服务，以适当地滿足第一个五年計劃期間机器制造及其他工业之需要。

由于党的正确領導，苏联專家的无私帮助，及全国人民的积极努力，胜利地完成了第一个五年計劃，我国的有色金属工业的面貌也基本改变。从1952年到1957年，我国銅的生产增加270%，鋁增加243%，鉛增加334%，鋅增加252%<sup>●</sup>。有色金属生产的急速增加，必然促使有色金属加工能力的相应增长。在产品品种方面，到第一个五年計劃末期，我国不但已能生产过去所不能制造的绝大多数有色金属及合金板带材及其他产品，并且已能供应飞机、汽車、及各种精密仪表制造等所需的大部分有色金属及合金材料。

在第一个五年計劃的光輝胜利的基础上，党的第八屆全国代表大会第二次會議上，又提出了建設社会主义的总路綫。貫徹执行党的社会主义建設总路綫，将使我国社会生产力得到極大的發展，将要大大地提高劳动生产率，使我国工业在十五年或者更短的時間內，在鋼鐵和其他主要工业产品的产量方面赶上和超过英國。根据党的总路綫，我們在优先發展重工业，重工业和輕工业同时并举的方針下，实行了以銅为綱、全面跃进。同时还实行了中央工业和地方工业同时并举、大型企业和中小型企业同时并举、洋法生产和土法生产同时并举等一整套两条腿走路的方針，同时在工业管理中实行集中领导同大搞群众运动相结合的工作方法，这就为多快好省地發展工业找到了具体的道路。

在这条总路綫的指引下，1958年出現了一个我国历史上前所未有的国民經濟的大跃进。銅的产量由1957年的535万吨增加到1100万吨<sup>●</sup>。有色金属中的銅增加了235%，鋁增加了173%，并且生产出过去所不能生产的大量品种的稀有金属<sup>●</sup>。

在有色金属压力加工工业方面，單就某厂而言，产量增加到解放前的60倍，产品品种增加到解放前的34倍。

但是，在全国工农业生产的大跃进中，銅和鋁的生产仍然是一个薄弱环节，远远地不能滿足机械制造工业和电器电力工业的需要，如果这个問題不能得到很好的解决，必將影响到我国社会主义建設的發展速度。

正像鋼鐵工业一样，党的总路綫对我国的有色金属工业提出了三方面的任务：(1)

<sup>●</sup> 1958年全国工业交通展覽会資料。

<sup>●</sup> 中国共产党第八屆中央委員會第六次全体会議公報(1958年12月)。

扩建并發揮現有企业的能力，（2）新建大規模的、生产能力巨大的現代化工厂，（3）根据党的全民办企业遍地开花的方針，广泛地發展中、小型或洋土結合的有色金屬厂矿企业。

扩建及改建原有的有色金屬加工厂，提高其劳动生产率及设备利用率，加紧建設新的现代化的加工厂，以及广泛地建設小型加工厂，对于有色金屬加工工业來說，意义同样是十分重要的。在大跃进中，由于职工群众在党的领导下發揮了冲天干勁，解放了思想，統一了認識，献出了无穷的智慧，通过技术革命及技术革新，不但提前完成了扩建改建計劃，并且大大地提高了劳动生产率及设备利用率，使原有的生产能力提高了好几倍。我国第二个五年計劃中的有色金屬加工厂新建工程也正在加紧努力提前完成。这些近代化工厂的建成，将大大地改变我国有色金屬加工工业的面貌。另外，許多小型加工厂也将广泛地建設起來。这些工厂所用的原料，不但是从各地矿石中所提炼出来的有色金屬，而且也包括从消费者手中所回收的再生金屬。它們所生产的各种半成品——板、带、管、棒、綫材等有色金屬材料，将供应各个地区的各个工业部門的需要。

在金属加工工业的全面大跃进中，一个比較重大的思想障碍就是：人們总認為金属压力加工需要重型机器，認為只有近代化设备，才能大量生产，也只有大型机器厂才能制出金属压力加工所需的各种设备。但是大跃进以后的事实證明；由于全国人民破除迷信，解放了思想，發揮了敢想、敢干的冲天干勁，即使在極簡陋的小型机修車間，也能制造出压力加工用的大型軋机。譬如：“螞蟻啃骨头”的先进經驗證明小机器可做大活，“茶壺煮猪头”的先进經驗證明小鋼爐可鑄大件。此外，像“电焊代鑄鋼”，“以鑄代鍛”，等等革新創造，已为各地突破軋制这一难关鋪平了道路，小型的簡易軋机紛紛制造出来。这些情况将同样适合于有色金屬压力加工企业的發展。

因此，在党的总路線的光輝照耀下，我国的有色金屬加工工业的生产，不論在数量质量或产品品种方面，都将有更大的跃进。

### 學習這門課程的目的和要求及這門課程的基本內容

党的社会主义建設事业的飞跃前进，国家的有色金屬加工工业之日益蓬勃的發展，就必定要求有更多的、既有社会主义觉悟、又有文化的劳动者，来担负起这一任务。而培养及教育的責任，又必須由学校及工矿企业共同来分担，特別是高等学校更必須負擔起提高的任务。

党的教育方針是：教育必須为无产阶级的政治服务、教育和生产劳动相結合，为了实现这个方針，教育工作必須由党来领导。遵循及貫徹了这一方針，就能够培养出国家所需要的共产主义的全面發展的新才。有色金屬工业是社会主义重工业建設中重要的一环，在社会主义阵营与資本主义阵营的竞赛中，有色金屬更将是具有重大意义的因素。因此，党对从事有色金屬工业学习的人，无论在政治上及业务上，都提出了很高及很严格

● 中共中央与国务院关于教育工作的指示。

的要求。

和其他專業一样，學習這門專業課程的目的，一方面要求能够在本專業範圍內，在企業生產車間从事基本的劳动操作，成为与本專業有关的各工种的多面手。另一方面，要在計劃生产、組織生产及解决生产中的問題上，以及在理論上，以及發展和創造有色金屬及合金加工的新技术、新产品的能力上，受到鍛練。为了达到上述目的和要求，就必须在學習过程的每一环节中，无论在理論上或是在生产知識方面，奠定必要的基础。

因此，[有色金屬及合金板帶材生产]這門課程的基本內容，應該包括从理論到實踐及从實踐到理論的生产知識，亦即包括：既有根据金屬压力加工實踐归纳出的基本規律的理論总结，又有通过理論指导的實踐性总结。在全部學習过程中，必須密切地与認識實踐、實驗室實踐及生产性的劳动實踐相結合，从而使感性認識与理性認識密切地貫穿起来。因此，全部課程的內容包括了三个組成部分：

(1) 在學習金屬压力加工原理的基础上，結合實踐，研究平輥軋制时金屬变形区所产生的各种現象及規律，以及軋制时确定所需要的力之各种方法的探討，从而为進一步發展及解决生产問題服务。

(2) 熟悉了軋制原理以后，就可以結合感性認識进一步了解生产車間的各种設備——主要是軋机設备。要求做到能够正确地选择、运用及校驗所使用的設備及工具。

(3) 第三部分是关于有色金屬及合金板、帶材等材料之标准的（或典型的），及特殊的生产工艺过程之研究。金屬从原料到加工成为成品的生产過程的知識，基本上是属于綜合性的知識——它将压力加工原理、軋制原理、金屬学、热处理学等的理論性科学，及关于生产車間的設備及工具的知識組織起来，运用到金屬及合金的压力加工的生产過程中去。因此，學習的过程，必然应当是理性知識及感性知識結合的过程。

另外，在基本的生产知識的基础上，还必须了解有色金屬及合金的軋制技术的新發展方向——例如，新的軋制理論，現有工艺过程之改进，新产品之制造及生产方法合理化之研究，新的軋制設備及工具之研究，新型金屬及合金加工工艺过程之研究等等，都属于[有色金屬及合金板帶材生产]這門課程的內容。

# 第一篇 軋制原理

## 引言

### §1. 研究軋制原理之意义及其基本內容

虽然压力加工的历史已經很久，人們在很久以前就熟悉用軋制法来加工，但是关于軋制原理的研究，却只是最近几十年所总结的一門科学〔0-1〕。軋制法最初是从热軋开始的，人們經過摸索，知道如何利用金屬在高溫度下良好的塑性去軋制金屬，但多不知其所以然。也就是說，在当时实际經驗方面的知識远远超过了理論知識。关于軋制机械設備的設計及制造知識之發展，也循着同样的途徑——即實踐經驗先于理論知識之發展。在最初，人們在生产过程中不断遇到困难，譬如，軋机的力量不足以克服被軋金屬之变形抗力，或在軋制后發現軋件的种种缺陷，如不均匀变形等，这些困难都可使軋制过程遭到失败。于是人們就針對軋机力量不足的部件进行加强，針對所發現的缺陷进行改善。以后，在生产中又要求去軋制新的材料——新的合金或新的品种，此时軋机操作者在第一次往往會遭到失败。于是不得不重复，如此所积累起来的經驗，使人們逐渐注意到軋制时之一切規律——金屬通过軋輥間時之現象，变形所必需的力，軋輥直徑等因素对变形之影响，軋制时所必需之功率，等等。同时，軋制者也漸漸了解如何才能产出最經濟最有效的产品。軋机制造者也逐渐明白如何去計算机械上所承受的力，以及軋制所要求的功率等。

以后，当冷軋方法被推广应用时，又面对着新的問題。因为在冷軋后所获得的产品必需要求平整均匀，无论在厚度、宽度及長度方面都要求均匀一致。于是，人們又逐渐明白要达到此目的，必須使軋輥状态良好正确，压下机械之調整必須准确，使每一道次之厚度均匀一致。此外，軋制者又为爭取較高的生产率，就必须提高軋制速度。但軋制速度提高后，又遭到另一系列的困难，譬如，輥筒由于高速摩擦而产生热变形，于是就必须研究如何去控制輥型及溫度。

在軋制带材时，由于軋件太長，就必须将带的末端卷起来。于是又产生了前后拉力作用的問題。而前后拉力之存在，又会影响到軋制力之变动。同样，潤滑問題也引起了必要的注意及研究，因为發現軋輥与軋件間之摩擦問題对于金屬的变形及軋制力都有極大的关系，改善了軋輥与軋件間之摩擦状态，就可以改善軋制过程。但摩擦問題对于軋制所产生之影响極为复杂，因此在軋制时的潤滑問題，就不得不做深入的研究。

事情就是这样逐渐发展的。要求在日益提高，新的产品、新的材料，更精确的厚度，更高的生产率，更低的生产成本，所有这一切要求，都意味着需要更多更丰富的轧制理论知识，从而要求做更多的科学的研究，来充实这些知识，解释及纠正实践中的问题，指出以后发展的道路。

在所有已经被应用到的金属压力加工方法中，平辊之轧制原理是理论研究中比较完整的一个部分。平辊轧制就是使金属从两个旋转方向相反的平型轧辊间隙通过的变形过程。本书内所涉及的轧制原理之主要部分，就是指简单的轧制过程而言。所有其他不同的轧制条件之轧制过程，都将在简单轧制过程之研究基础上进一步加以讨论。

到现在为止，轧制过程所总结的规律，大致可归纳为两大部分，即：关于在轧制时金属变形区域内所产生的一切现象及其规律之研究，以及在轧制时所需之一切力之分析及其计算之研究。

因此轧制原理之基本内容也大致包括下列问题之研究：

金属被轧辊咬入及建立轧制过程之理论；金属被轧制时沿高向变形之理论——金属被压缩时之流动现象的理论；金属被轧制时沿横向变形之理论——宽展的理论；沿纵向变形之理论——前滑的理论；关于金属被轧制时在轧辊上所承受的单位面积压力之分布及关于轧制力计算之理论及实验；轧制力之各种主要因素对轧制力之影响，轧制时轧辊上各种作用力之状态，及轧制转矩及功率之计算方法等。

关于轧制原理之研究方法，不外从下列三方面着手，即：数学分析法，经验统计法及实验法。特别是数学分析法及实验法是目前所采用的主要方法。但是无论采用何种方法，所获得的结果都还不可能是全面的，因为在轧制过程中要遇到许多极复杂的因素，譬如，在热轧时温度变化之影响，在冷轧时金属硬化之影响，零件之厚度、性质、轧辊表面状态、直径、轧制速度等之影响，都使数学分析法十分复杂。为此，在数学分析法中，必然要以一系列之假定为基础，来简化过于繁复的数学分析工作，而这些假定与实际又往往是有出入的，因此从数学分析法所获得的结果，就难于十分正确。

用实验法或实测法求轧制规律也同样是一件复杂而艰难的事。譬如，在轧制过程中的轧辊及金属间之摩擦力问题，就难于直接测定，在这种情况下，要获得一个比较全面的规律当然是比较困难的。通过实验来测定轧制负荷及轧制功率都是可能的，但测量结果也只能适合于一定的轧机，对于其他及特殊的轧机条件，就不完全能适合。

以上说明了轧制原理研究的领域是十分广泛的。

世界各国科学家对于轧制理论的研究，近世纪以来已逐渐增多。如瑞典的爱克朗达 (S. Ekelund)，英国的纳代 (A. Naidai)，奥洛文 (E. Orowan)，德国的谢别尔 (S. Siebel)，及美国的屈林克斯 (Trinks) 等，都曾做过很多的贡献。但特别要提到的是苏联科学家在这方面的杰出的成就，许多杰出的苏联科学家在轧制原理的发展过程中所起之作用，将是不可磨灭的。这些科学家包括：И. М. 巴甫洛夫 (Павлов)，А. И. 采利柯夫 (Целиков)，А. Ф. 高洛文 (Головин)，Н. А. 苏波里伏斯基 (Соболевский)，А. А.

科洛列夫 (Королев), B. E. 葛魯姆-格路日馬依羅 (Грум-Гржимайло), A. Ф. 路达西維爾-比列維爾 (Родзевия-Белевич), И. Я. 塔尔諾夫斯基 (Тарновский), 及 A. И. 科尔巴什尼柯夫 (Колпашников) 等, 其中采利柯夫及巴甫洛夫的貢獻, 使軋制原理這門科学获得了巩固的基础。

我国对这門科学的研究还比較年青, 有許多部門已在开始对某些理論問題展开了研究。

## §2. 簡單軋制過程及非簡單軋制過程

所謂簡單軋制過程——是比較理想的軋制過程, 通常把具有下列条件的軋制過程, 作为簡單軋制過程:

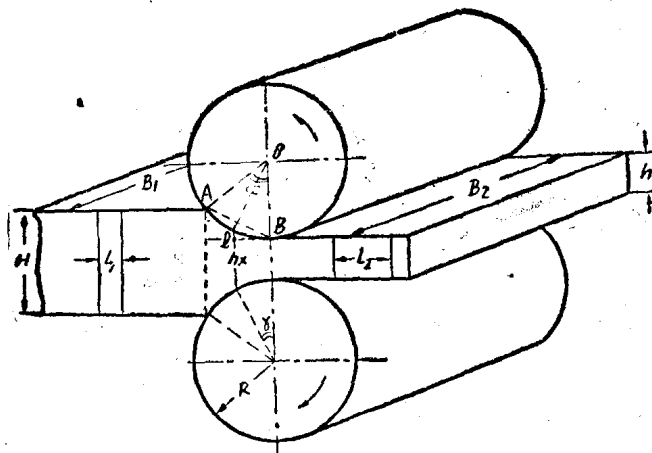
- 1) 两个軋輥都被原动力所带动;
- 2) 两个軋輥直徑都相等;
- 3) 两个軋輥轉速都相同;
- 4) 被軋制的金屬做等速运动;
- 5) 在被軋制的金屬上只有軋輥所加的压力——即不存在前后拉力及推力;
- 6) 被軋制的金屬性質完全均匀一致——即溫度一致, 变形抗力一致。

所謂非簡單軋制過程, 是指下列条件下的軋制過程:

- 1) 一个軋輥被带动, 另一个軋輥空轉 (或被軋輥与軋件間之摩擦力所带动) 的軋制過程, ——例如, 应用于某些二輥式薄板軋机之軋制過程;
- 2) 軋輥直徑不相等之軋制過程——例如在勞特式三輥軋机上之軋制過程;
- 3) 軋制時圓周速度不相等之軋制過程——这种軋制過程可能应用于下列情形, 例如目的于防止金屬貼輥現象而有意使上輥之線速大于下輥之線速的軋制過程;
- 4) 軋制時軋件做不等速运动 (加速或減速运动) 之軋制過程——例如在可逆式軋机上軋輥在开始咬入时調整速度之過程;
- 5) 在軋件上, 除軋輥之作用力外, 还有其他作用力之軋制過程——例如在冷軋帶材時之前后拉力, 或初軋机上推料机之推力等;
- 6) 被軋制之金屬性質不均匀一致之軋制過程——例如由于在加热爐中加热溫度不均或時間不足, 致使軋件溫度不均, 从而造成軋件之上下或前后之塑性不一致。

在实际生产中, 即使是具有簡單軋制過程条件的軋制過程, 事实上也具有非簡單軋制過程之因素, 例如由于上下軋輥在軋制時磨損程度不同而使其直徑不会絕對相等。因此, 絶對的簡單的軋制過程并不是常常存在的, 但是为了簡化关于軋制原理的研究工作, 有必要从簡單的軋制過程出發, 然后在簡單軋制過程研究的基础上, 再进一步研究一般非簡單的軋制過程。

簡單軋制過程中, 研究軋制原理时所涉及的一些基本符号如下:



第0-1圖 軋制符号說明

D—軋輥直徑，毫米；R—軋輥半徑，毫米；H—軋制前零件之高度（或厚度），毫米；h—軋制后零件之高度（或厚度），毫米； $h_{cp}$ —軋制時零件之平均高（厚）度，毫米； $\Delta h$ —壓下量或稱絕對壓下量＝ $H - h$ ，毫米； $B_1$ —零件在軋制前之寬度，毫米； $B_2$ —零件在軋制后之寬度，毫米； $\Delta B$ —寬展量，或稱絕對寬展量＝ $B_2 - B_1$ ，毫米； $L_1$ —零件在軋制前之長度，毫米； $L_2$ —零件在軋制后之長度，毫米； $\alpha$ —咬入角；AB—咬入弧或接觸弧；l—咬入弧（接觸弧）水平投影長度，毫米；γ—臨界角，或稱中性角

### §3. 軋制变形指数

軋制变形之結果，沿立体的三个方向上，零件之尺寸都發生了变化。即：

零件之高度被减小，由 $H$ 减到 $h$ ——称为高向变形，又称压缩。

零件之宽度略被增加，由 $B_1$ 增加到 $B_2$ ——称为横向变形，又称宽展。

零件之長度被增加，由 $L_1$ 增加到 $L_2$ ——称为縱向变形，又称延伸。

在軋制原理之研究中，通常用各种指数来表示这三个方向上的变形程度，这些指数称为軋制变形指数。

#### 高向变形指数

如以 $\epsilon$ 符号来表示高向变形指数，则通常有三种方式被用来表示，即：

第一种方式  $\epsilon = \frac{H-h}{H} \% \text{ 或 } \frac{\Delta h}{H} \%$ ,

第二种方式  $\epsilon = \frac{H-h}{h} \% \text{ 或 } \frac{\Delta h}{h} \%$ ,

第三种方式  $\epsilon = \ln \frac{H}{h}$ 。

可以看出，无论是第一种方式或第二种方式，都只能表示变形程度之近似值。因为，无论是絕對压下量 $\Delta h$ 与軋制前厚度 $H$ 之比例，或是与軋制后厚度之比例，都不能代表变形过程之真实变形程度，它们都只考慮到軋制开始时期或是終了时期的变形比例。正确的变形程度之表示，应当取零件尺寸相对变化之微分形式，并在一定的極限范围内加以积分，这才能表示出全部变形过程之真实变形程度。如以 $h_x$ 表示在变形过程中一定的厚度，在此瞬间的厚度上，厚度之减缩量为 $dh_x$ ，则在此时之相对压下量应为：

$$\frac{dh_x}{h_x}$$

倘若厚度之变化極限是由 $H$ 变到 $h$ ，則将上式在此極限范围内加以积分后，即可得到

全部变形过程之相对变形程度的表示方式：

$$\int \frac{dh_x}{h_x} = \ln \frac{H}{h}$$

可知，第三种表示方式——即轧前厚度及轧后厚度比例之自然对数，可以表示出真实的变形程度。

巴甫洛夫曾经指出〔0-2〕，在较小的变形程度下，第二种方式所表示的变形程度与第三种方式所表示之变形程度是比较近似的。如果把  $\ln(1+x)$  展开成级数，得

$$\ln(1+x) = x - \frac{x^2}{2} + \frac{x^3}{3} - \frac{x^4}{4} + \dots,$$

如以  $(\frac{H}{h} - 1)$  代替式中之  $x$ ，则可得

$$\ln \frac{H}{h} = \left(\frac{H}{h} - 1\right) - \frac{1}{2}\left(\frac{H}{h} - 1\right)^2 + \frac{1}{3}\left(\frac{H}{h} - 1\right)^3 - \frac{1}{4}\left(\frac{H}{h} - 1\right)^4 + \dots.$$

其中除第一项外，其余均为  $(\frac{H}{h} - 1)$  之高次项，是可以忽略不计的，因此

$$\ln \frac{H}{h} \approx \frac{\Delta h}{h}.$$

如果将上述三种方式之表示方法计算所得之值绘成曲线加以比较，则可得如第0-2图之形式，即假定零件绝对压下量为一常数，以横座标表示每次轧后之厚度  $h$ ，以纵座标表示用每种方式所计算得之变形量。由图可以看出，当变形程度愈大时，此三种方式所得之结果差误也愈大。当  $h$  接近于零时，则

$$\frac{H-h}{H} \rightarrow 100\%,$$

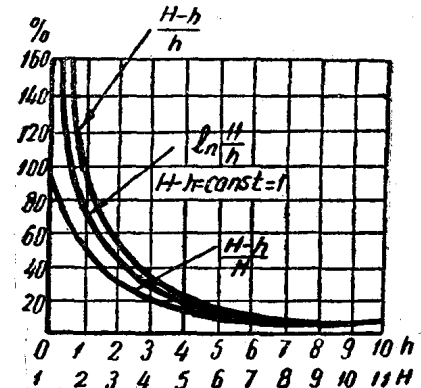
$$\frac{H-h}{h} \rightarrow \infty,$$

$$\ln \frac{H}{h} \rightarrow \infty.$$

$$\textcircled{1} \frac{H-h}{h}, \quad \textcircled{2} \ln \frac{H}{h}, \quad \textcircled{3} \frac{H-h}{H}$$

高向变形指数  $\varepsilon$  通常被称为轧制率，或加工率，也称为相对压下量，都以%表示其单位。

上述三种变形指数形式中，虽然以  $\ln \frac{H}{h}$  之表示方式为最正确，但在实际生产中使用不甚方便，因此，通常仍多用  $\frac{H-h}{H} \%$  的表示方式来代表高向变形指数。



第0-2圖 相對壓下量計算  
比值比較

### 横向变形指数

横向变形指数，通常都用绝对宽展量来表示，即

$$\Delta B = B_2 - B_1$$

相对宽展量之形式，如

$$\frac{\Delta B}{B_1} \text{ 或 } \frac{\Delta B}{B_2}.$$

在生产中都不常用，但在轧制原理之研究中，有它一定的意义。此外，绝对宽展量及绝对压下量之比例：

$$\frac{\Delta B}{\Delta h}$$

亦曾被用为代表横向变形程度之一种指数。

### 纵向变形指数

纵向变形将构件之长度由  $L_1$  变到  $L_2$ ，其变形之程度通常可有两种方法表示，即

$$\frac{L_2 - L_1}{L_1} \text{ 及 } \frac{L_2}{L_1}$$

前者在一般拉力试验中称为延伸率，通常以符号  $\delta$  表示之；后者为大于 1 之系数，称为延伸系数，通常以符号  $\lambda$  表示之。在轧制生产及轧制原理之研究中，延伸系数之使用颇为广泛。

### 各变形指数间之关系

根据轧制前后体积不变的规律，很容易了解各种变形指数间之关系。设以  $V_1$  及  $V_2$  为变形前后之体积，则

$$V_1 = HB_1 L_1, \text{ 及 } V_2 = hB_2 L_2$$

由于  $V_1 = V_2$ ，因而

$$HB_1 L_1 = hB_2 L_2$$

可得

$$\frac{L_2}{L_1} = \frac{H}{h} \cdot \frac{B_1}{B_2} \text{ 或 } \frac{H}{h} = \frac{B_2}{B_1} \cdot \frac{L_2}{L_1}$$

如以  $F_1$  及  $F_2$  表示轧制前后构件之横断面积，即：

$$F_1 = HB_1, \quad F_2 = hB_2$$

则

$$\lambda = \frac{F_1}{F_2} \text{ 或 } \lambda = \frac{1}{1-\epsilon} \cdot \frac{B_1}{B_2}$$

如令  $B_2 \approx B_1$ ，则

$$\lambda = \frac{H}{h} = \frac{1}{1-\epsilon}.$$

### 总的变形指数与各道次变形指数间之关系

如轧制之次数不止一次，即经过几个轧制道次才将金属轧到一定的厚度，则总的变形指数与各道次之变形指数间之关系，可阐明如下：

如令构件在第一道次轧制前之断面积为  $F_0$ ，

构件在第一道次轧制后之断面积为  $F_1$ ，

軋件在最后道次軋制前之断面積为  $F_{n-1}$ ,

軋件在最后道次軋制后之断面積为  $F_n$ 。

如此，各道次之軋件長度及断面積等数据为：

長度：  $L_0, L_1, L_2, L_3, \dots, L_{n-1}, L_n$

断面積：  $F_0, F_1, F_2, F_3, \dots, F_{n-1}, F_n$

延伸系数：  $\lambda_1, \lambda_2, \lambda_3, \dots, \lambda_n$

則：

$$F_0 = F_1 \lambda_1$$

$$F_1 = F_2 \lambda_2$$

$$F_2 = F_3 \lambda_3$$

.....

$$F_{n-1} = F_n \lambda_n$$

$$F_0 = (\lambda_1 \lambda_2 \lambda_3 \dots \lambda_n) F_n$$

因此，

$$\frac{F_0}{F_n} = \lambda_1 \lambda_2 \lambda_3 \dots \lambda_n = \lambda_{cp}^n$$

式中  $\lambda_{cp}$ ——所有道次之平均延伸系数；  $n$ ——軋制道次数目。

其中  $\frac{F_0}{F_n}$  为总延伸系数  $\lambda_{total}$ ，即：

$$\ln \lambda_{total} = \ln \lambda_1 + \ln \lambda_2 + \ln \lambda_3 + \dots + \ln \lambda_n$$

$$\lambda_{cp} = \sqrt[n]{\lambda_{total}} = \sqrt[n]{\frac{F_0}{F_n}}$$

$$\ln \lambda_{cp} = -\frac{1}{n} \ln \lambda_{total}$$

$$\therefore n = \frac{\ln \lambda_{total}}{\ln \lambda_{cp}}$$

由此可知，各道次延伸系数之总和，并不等于总延伸系数，而为其对数之总和。

# 第一章 軋制过程之建立——咬着

## §1. 咬着时之作用力及其必要条件

为了实现轧制过程，首先必须使轧辊能咬着轧件，然后才能使金属填充于轧辊之间隙。为此，就有必要首先来分析在金属开始被咬着时之作用力。

兹先就最简单的情况来分析轧制时轧辊与轧件间所作用之力。

今试假定为了要使轧件被咬入于轧辊之间，必先有一外力 $Q$ 将此轧件推向轧辊。于是在 $A$ 及 $B$ 两点与轧辊相接触（第1-1图）。轧辊即在 $A$ 及 $B$ 两点承受了此推力。换言之，此水平力 $Q$ 被分解成为两个力 $P$ ，各通过接触点 $A$ 及 $B$ ，及穿过两轧辊之中心。 $P$ 之量与 $Q$ 之关系为：

$$P = \frac{Q}{2\sin \alpha} \quad (1-1)$$

可是，在轧辊及轧件之接触面之间，在 $P$ 力之作用下，产生了摩擦力 $T_0$ 。这摩擦力的方向垂直于 $P$ 力，即在 $A$ 及 $B$ 点与轧辊之圆周相切。这摩擦力 $T_0$ 对轧辊而言，将阻止轧辊之旋转，如第1-2图所示。

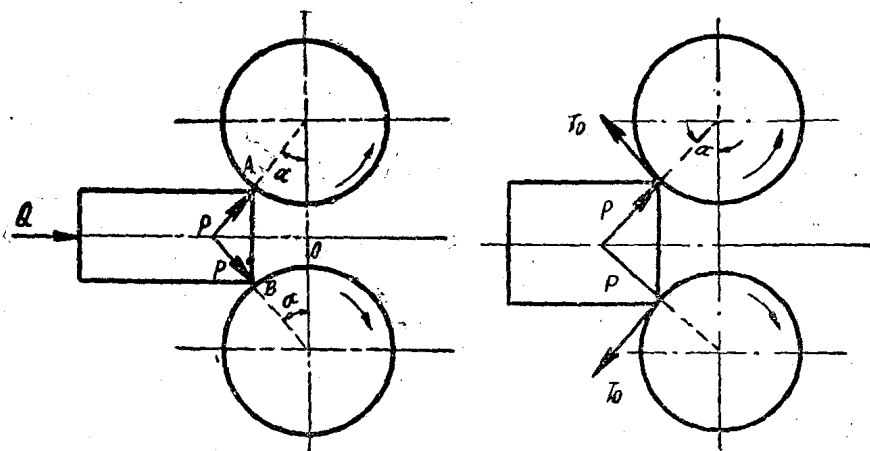
在另一方面，根据力学定律，在咬入时，轧辊必有一反作用力 $R$ 加于轧件，其方向与 $P$ 相反且同在一直线上，如第1-3图所示。同样，可知此反力 $R$ 所产生之摩擦力 $T$ ，趋于将轧件拖入辊间。

因此，轧辊对轧件在咬入时之作用力，为力 $R$ （径向力）及力 $T$ （切向力）（见第1-3图）。在轧辊咬入的问题上，应当研究轧辊对轧件之作用力 $R$ 及 $T$ ，而在金属对轧辊压力的问题上，应当研  
究力 $P$ 及 $T_0$ 。

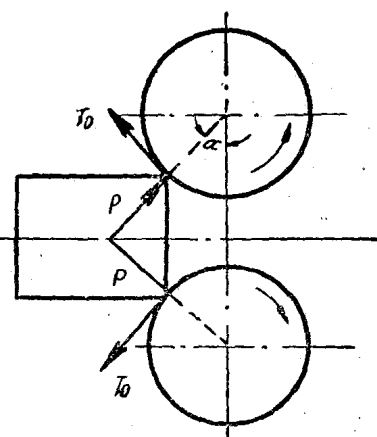
很显然的，摩  
擦力 $T$ 与力 $R$ 两者  
之间应为正比例关  
系，即：  
$$T = \mu R \quad (1-2a)$$
  
式中 $\mu$ 为干摩擦系数， $R$ 既等于 $P$ （方  
向相反），因此：

$$T = \mu P \quad (1-2b) \text{ 即：}$$

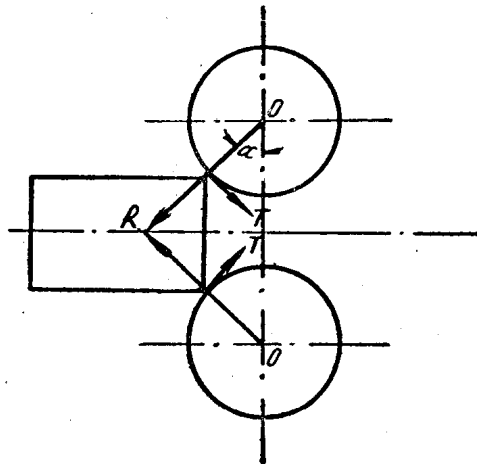
$$T = \mu \frac{Q}{2\sin \alpha} \quad (1-3)$$



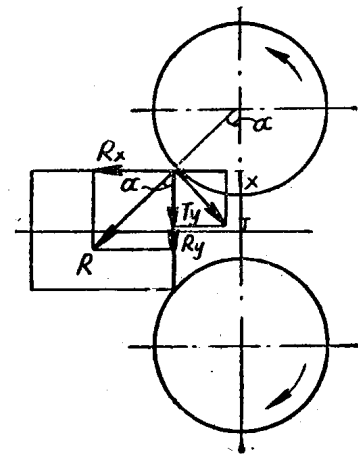
第1-1圖  $Q$  力分解为两  
个径向力 $P$



第1-2圖 咬着时轧件作  
用于轧辊之力



第1-3圖 咬着時軋輥對軋件之作用力



第1-4圖 軋輥作用于軋件之力分解為水平分力及垂直分力

为了弄清楚咬着之力，还应当把  $R$  及  $T$  两个力分解出他們的垂直分力及水平分力。如第1-4圖所示，这两个力共可分解为以下的四个分力，即：

力  $R$  之水平分力  $R_x$ ，

力  $R$  之垂直分力  $R_y$ ，

力  $T$  之水平分力  $T_x$ ，

力  $T$  之垂直分力  $T_y$ 。

其中一切垂直分力 ( $R_y$  力及  $T_y$  力) 并不影响于咬着，他們的作用是压縮軋件。与咬着有关者應該是水平分力  $R_x$  及  $T_x$ 。

可以看出， $R_x$  力阻止金屬进入輥間，而  $T_x$  力趋于将軋件拖入輥間。因此：

如果  $R_x > T_x$ ，則不可能将軋件咬着。

如果  $R_x = T_x$ ，則达到力的均衡状态，自然咬着仍是不可能的。

如果  $R_x < T_x$ ，則可能将軋件咬着。

現在可以去求出这水平分力之量：

$$T_x = T \cos \alpha \text{ 而 } T = \frac{Q}{2 \sin \alpha} - \mu \quad (\text{見公式1-3})$$

因此

$$T_x = \mu - \frac{Q}{2 \sin \alpha} \cos \alpha = \mu - \frac{Q}{2 \tan \alpha}.$$

对于两个軋輥而言，則为：

$$2T_x = \frac{\mu Q}{\tan \alpha} \quad (1-4)$$

从第1-4公式看来，似乎将軋件拖入輥間之力  $T_x$ ，不但与摩擦系数  $\mu$  成正比，与咬角  $\alpha$  成反比，还与外力  $Q$  成正比，即  $T_x$  力似乎有賴于  $Q$  力之压紧方能产生。但事实并不如此。可再研究另一水平分力，即与  $T_x$  方向相反对之  $R_x$ 。由于  $R = P$ ，因此：

$$R_x = R \sin \alpha = \frac{Q}{2 \sin \alpha} \sin \alpha = \frac{Q}{2}$$